

カスナレーテッドビームの実験的研究 —主として高さの変化について—

九州大学 正員 村上 正
九州大学 正員 ○齊藤利一郎
学生員 平野喜三郎

§1. 序

本研究は、曲げ一せん断をうけるカスナレーテッドビームについて、拡張比の変化と応力状態の関係を調べることを目的とする。拡張比とは、もとのH型鋼の高さ H_0 と、それより作られたカスナレーテッドビームとの比 $\alpha = H/H_0$ を言う。

応力の観察には光弹性法を用い、フランジつきの場合(実験Ⅰ)と、フランジなしの場合(実験Ⅱ)との両方を試めた。

§2. 模型および実験の概要

模型は図1～3の3種類とする。実験装置の制限から、スパンが180mmに一定され、その結果、ひずみの変化に応じて孔数も変化した。これらの試験片をそれぞれN.O.1～N.O.3と番号づけた。

模型の作製にあたっては、孔頂点およびウェブとフランジの接合部の時間効果には十分に注意を払った。ウェブとフランジの接合については、市販のカケンライト3mm板(エボキシ系)と同じ材質の接着剤を用い、接着条件を同一にして接合し、一週間後、等色線および等傾線の測定を行なつた。載荷にあたっては、弾性範囲内において、なるべく光弹性シマが左右対称になるように留意し、平面応力状態で行うこととに努めた。

§3. 実験の結果および考察

実験Ⅰ：(1) 孔周辺応力分布

写真1～3は等色線写真的例である。N.O.3の等傾線を図-1に、孔周辺応力分布図の例を図-5～10に示す。

印は各試験片に対する孔周辺中央のシマ次数を示す。

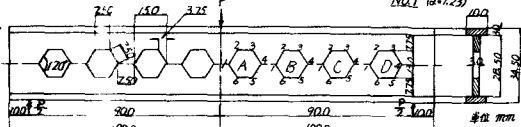


図-1

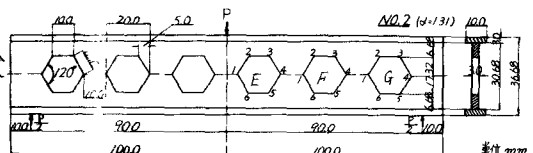


図-2

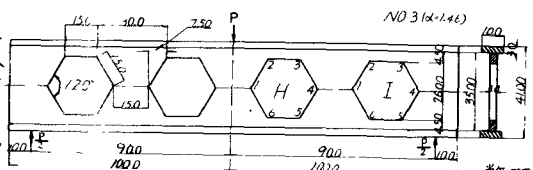


図-3

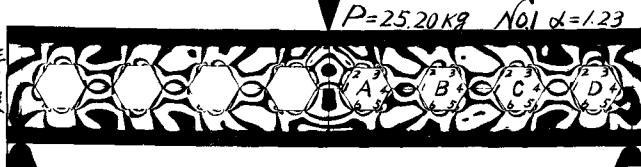


写真-1

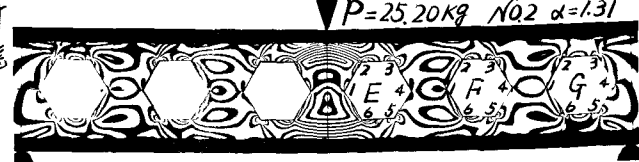


写真-2

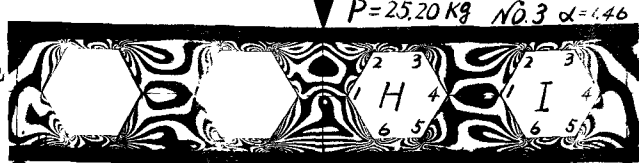


写真-3

孔A, E, Hに対する応力集中は写真1～3に見られ
るよう、頂点3, 5において最も著しい。

頂点2のシマ模様から、孔Aでは小さいシマ次数が見
られる。孔Eでは、1→2に従って高まり、3→2で減
少している。シマ次数分布の消滅から、頂点2はさほど
と応力集中の問題はないと思われる。

しかしながら、孔Hの孔辺2→3で最小シマ次数の位置
が頂点2から遠ざかる傾向にあるが（図-6）、これは又が
大きいために、孔によるウェブ断面の減少によって、せん
断に支配されて、応力の正負が変わることを示す。

頂点3については、孔A, E, Hとも、2→3, 4→3,
に従って、応力集中の度合が最も大きくせん断破壊を受け
やすい頂点であることを認める。

写真1～3、図-7に見られるように孔A, Eの孔辺中
央のシマ次数はほぼ一致しているのに、孔Hのシマ模様は
3→4の方に流れている。これは頂点3の応力集中が最も
高いために、シマ次数の低い頂点4に流れたものであり、
中でも孔Hの頂点が最もせん断の影響を受けている頂点で
あることが認められる。

N0.1～N0.3の孔T頂点の測定可能なシマ次数の分布図の
例を図-11～13に示す。図-11に見られるように、N0.1
の頂点2では、孔Bで一時シマ次数が減少するが、N0.2
では、支点に近い孔様、高まる傾向にある。

孔H, I, の頂点3では、シマ次数はさほど大きい差は見
られないが、これは、スパンが短いために、 $\alpha = 1.46$ 位
にみると、せん断の影響を著しく受け、シマ次数が高ま
ったものと思われる。

図-13から頂点4では、N0.1～N0.3ともほぼシマ次
数は一致する。

(2) ウエブとフランジの接合部の応力分布

図-14は、ウエブの上下縫、すなわちウエブとフランジ
の接合部のシマ次数の分布図を示す。

図に見られるように、上、下縫のシマ次数は、ほぼ対称
性を保っているが、N0.1では、上、下縫のシマ次数とも
大きい変化は見られない。

N0.2では、載荷点でシマ次数が高まっているが、これは

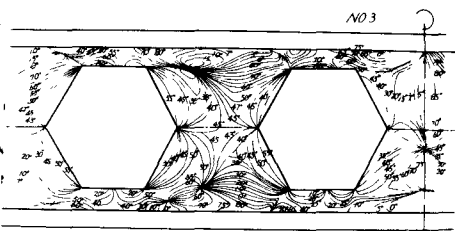


図-4

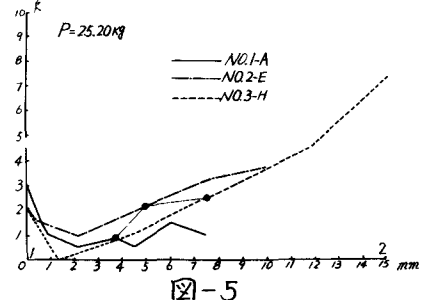


図-5

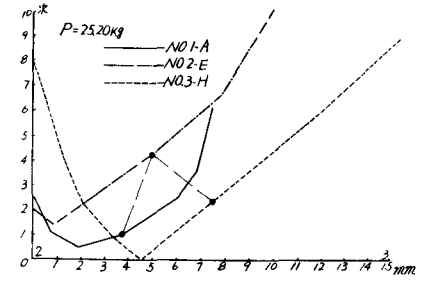


図-6

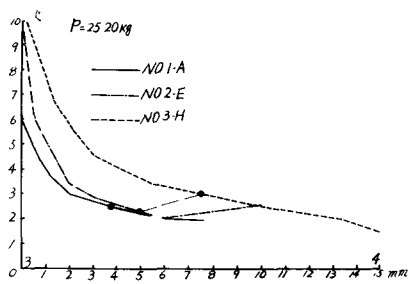


図-7

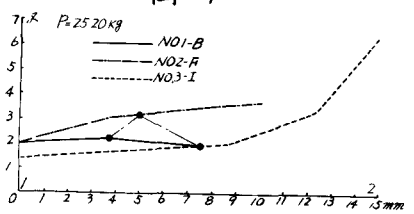


図-8

写真-2にも見られるように、曲げの影響をうけるシマ次数の分布から、高まつたものと思われる。

N0.3, 即ち, α が大きくなると、支点側に大きいシマ次数の分布が認められ、せん断の影響が著しいことを意味する。しかしながら、シマ次数の変化について言えば、図-14から *N0.2* が最も高いシマ次数になる傾向にあるが、フランジの上、下縁においては、*N0.3* ののはり丈が高いため、実際には、写真-2から推定するシマ次数分布より、高いシマ次数分布があると見らるべきであろう。

実験II: 図1-3からフランジを除いたものを用いる。

α はそれそれ1.3, 1.4, 1.6, に変ることになる。写真-4は、*N0.3* ($\alpha=1.6$) の等色線写真を示し、図-15は、ウエアの上、下縁のシマ次数の分布図である。

直線は孔なしの原材断面の理論シマ次数である。これと、*N0.1*～*N0.2*のシマ次数を比較したところ、*N0.1*～*N0.2*では、理論シマ次数より低く、逆に*N0.3*では、載荷点、支点側とも高く、上縁の載荷点側で、顕著な引張応力を生ずる点が認められる。写真5～7を比較すると*N0.1*と*N0.2*のシマ模様は同じような傾向にある。に対して、*N0.3*は振幅が大きいために、せん断の影響も著しく受け、シマ模様に大きな差が現われている。

写真5～7に記入した諸断面のウエア上、下縁の理論シマ次数と比較したところ、図-15にも見られるように、*N0.1*～*N0.2*は理論シマ次数とほとんど一致している。

また、頂点および孔周辺の測定可能な実験シマ次数と写真5～7の理論シマ次数を比較すると、*N0.1*～*N0.2*の頂点2, 3, 5, 6では、ほとんど同じシマ次数になつてゐるが、*N0.3*では、理論シマ次数の方が1～2次ほど安全側に現わされた。

4. 結論

本実験範囲内から次のことが明らかとなつた。

N0.1, 即ち, $\alpha=1$ に近いものではウエアの断面積が大きいため、主として、せん断が支配的なものに適する。

孔頂点の応力集中も小さいので精く、弱点とはならぬ。

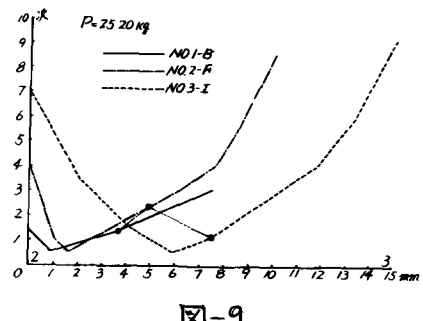


図-9

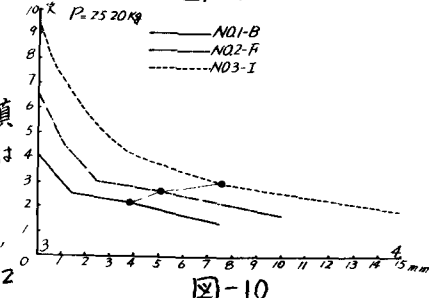


図-10

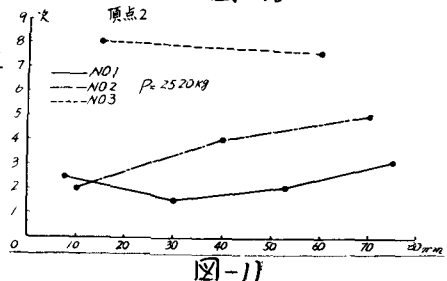


図-11

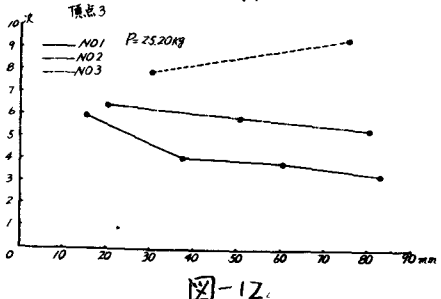


図-12

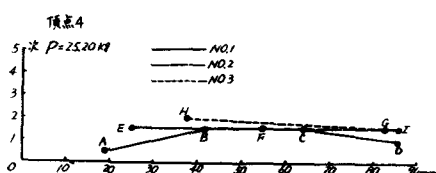


図-13

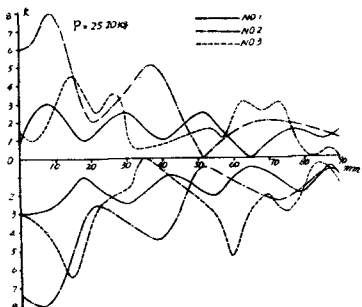


図-14

N°2では、曲げ-せん断に同程度に支配された三次元次数が認められ、 $\chi = 1.3 \sim 1.4$ 。程度か中スパン程度のヒームに有効であろうと思われる。

N°3になると、拡張比が大きいため、孔頂点、および孔周辺の応力集中の度合も高く、曲げが支配的にすることが望ましい。

フランジの効果については、孔頂点の応力集中からみて、N°1は、有効に働くといつては、N°2～N°3では十分にその効果を發揮していないので、カスナレーテットヒームと/orとの効果を大らかめるためには、比較的スパンの長いほどと/orして、使用することを望ましいと思われる。

あと書き。

カスナレーテットヒームと/orの長所を發揮させるためには、拡張比とスパンとの関係を考慮に入れるべきであるが、本実験では、装置の制限から、スパンを一定にせざるを得た。この点では不満足に終った。

参考文献

1. 村上、会田、青藤：曲げとせん断をうける有効板の実験的研究；土木学会第21回年次学術講演会概要集 昭和41年。

2. 近、西田、河田：光弾性実験法；日刊工業新聞社、昭和40年1月。

3. M. M. Frucht : Photoelasticity, Vol I, 1941, Vol II, 1948

4. Z. Shukry : Elastic Flexural stress Distribution in Webs of Castellated Steel Beams, Welding Journal, Vol 44, No 5,

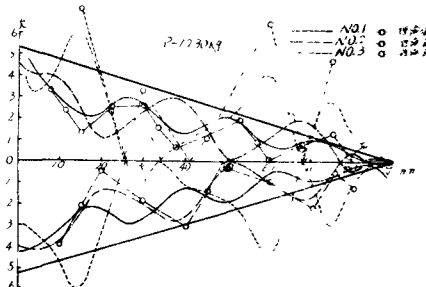


図-15

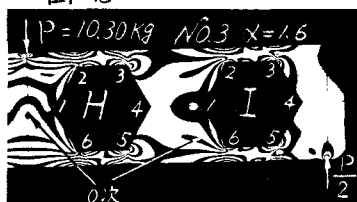


写真-4

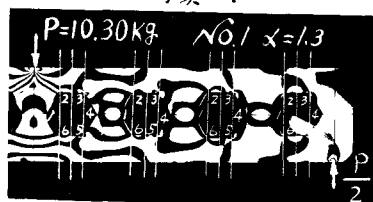


写真-5



写真-6

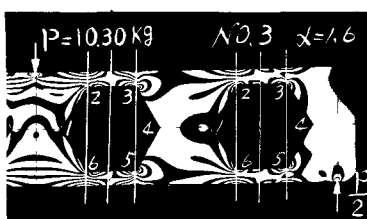


写真-7